

Scuola Di Fisica Nucleare "Raimondo Anni" (II corso)

Otranto, 29 maggio-3 giugno 2006

# IL PLASMA DI QUARK E GLUONI E LE COLLISIONI DI IONI PESANTI ULTRARELATIVISTICI

Marzia Nardi  
INFN Torino

# Programma

## 1) Introduzione

- sistemi di particelle relativistiche
- introduzione alla QCD, simmetrie
- QCD su reticolo
- transizione di fase nel modello a bag

## 2-3-4) Collisioni di ioni pesanti ultrarelativistici

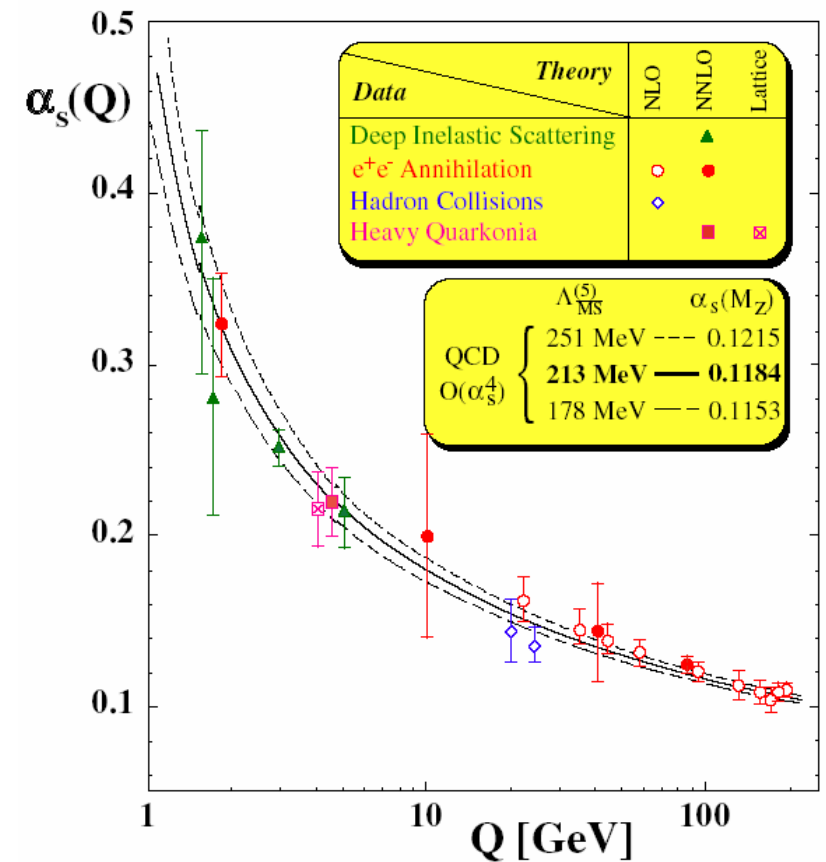
- fasi della collisione
- modello di Glauber e misura di centralità
- espansione, descrizione idrodinamica
- segnali di deconfinamento: sonde dure
- segnali di deconfinamento: sonde soffici

Saturazione partonica: separazione degli effetti di stato iniziale/ finale

# Introduzione

La CromoDinamica Quantistica (QCD) e` la teoria fondamentale delle interazione forti e descrive le interazioni tra i costituenti elementari (quark, gluoni) degli adroni.

La costante di interazione  $\alpha_s$  decresce al crescere dell'impulso scambiato  $Q$  (o al diminuire della distanza di interazione): *Libertà asintotica* (-> QCD perturbativa).



$\alpha_s$  diventa grande a piccoli  $Q$  (grandi distanze) : non e` applicabile il calcolo **perturbativo** tradizionale.

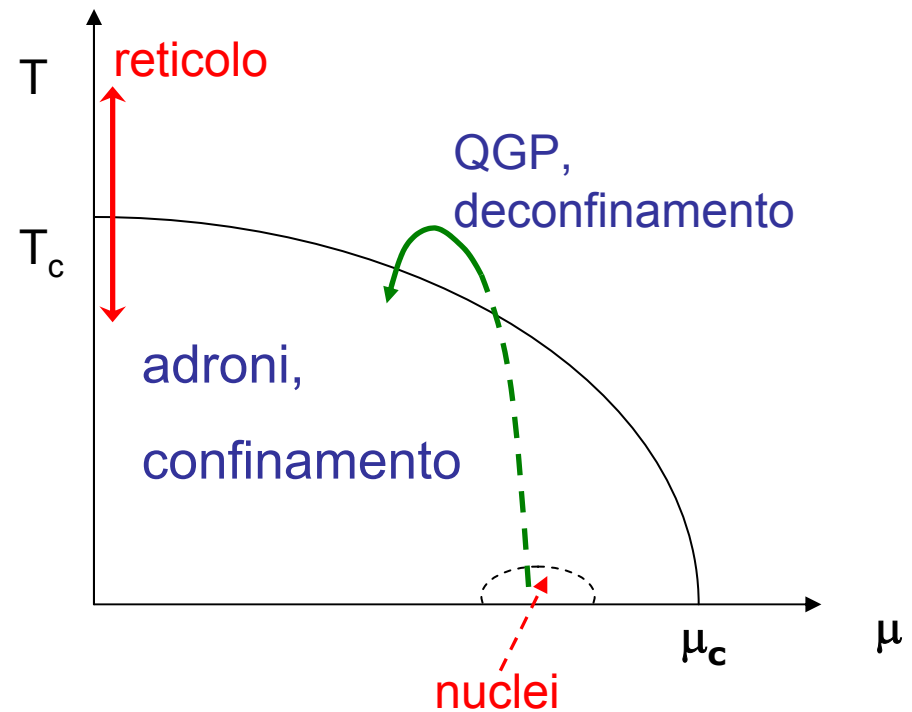
Non sono osservabili quark (e gluoni) isolati: **Confinamento**

1) **Fisica nucleare delle basse energie**: interazioni tra adroni. La QCD e` valida ma non direttamente utilizzabile!  
-> Modelli effettivi.

2) **Calcolo su reticolo**: applicazione diretta della QCD ad un sistema infinito di quark e gluoni, su uno spazio-tempo discretizzato; il passo del reticolo "a" costituisce un cut-off ultravioletto. Si estrapola al continuo.

I calcoli di QCD su reticolo dimostrano che in un sistema (infinito, omogeneo, all'equilibrio) di gluoni e quark (e antiquark) avviene una "transizione" da una fase confinata (adroni) ad una deconfinata (QGP: Quark-Gluon Plasma) quando la temperatura supera un valore critico  $T_c$  (170-200 MeV).

Gli esperimenti di collisioni tra ioni pesanti ad altissime energie hanno lo scopo di verificare in laboratorio questi risultati teorici



# Collisioni di ioni pesanti ad alte energie

AGS, Brookhaven National Lab. (BNL) : energie moderate  
Seconda metà '80 : studio sistematico con **SPS (CERN)**,  
collisioni protone-nucleo e nucleo-nucleo a  $E_{\text{lab}} = 160-200$   
AGeV ( $\sqrt{s}_{\text{NN}} = 17-20$  GeV) e, successivamente, ad energie  
minori, fino a 40 AGeV ( $\sqrt{s}_{\text{NN}} = 9$  GeV).

Nel 2000 inizia l'era di **RHIC (BNL)** : collisioni Au-Au e Cu-  
Cu ad energie  $\sqrt{s}_{\text{NN}} = 20-200$  GeV; deutone-Au a 20-200  
GeV.

Nel 2007(8?) : **LHC** al **CERN**, protone-Pb e Pb-Pb ( $\sqrt{s}_{\text{NN}} =$   
5.5 TeV).



# Storia dell'Universo

Big Bang -> l'Universo si espande e si raffredda attraversando diverse fasi:

- Transizione elettrodebole e generazione delle masse ( $T \sim 200$  GeV)
- transizione QGP-adroni,  $T \sim 200$  MeV
- nucleosintesi primordiale,  $T \sim 1$  MeV (nuclei D,He; neutroni liberi decadono in protoni)
- disaccoppiamento materia-radiazione,  $T \sim$  eV (H), la composizione "chimica" dell'Universo è "fissata"

In laboratorio si cerca di produrre un "Little Bang"

# Termodinamica di un sistema di particelle relativistiche

La funzione di distribuzione  $f_i(p, r, t)$  indica quante particelle di specie "i" sono presenti al tempo  $t$  nell'elemento di volume  $d^3r d^3p$ . Per una specie di particelle:

$$f(p) = \frac{1}{e^{(\varepsilon_p - \mu)/T} \pm 1}$$

$\varepsilon_p = \sqrt{p^2 + m^2}$ , + fermioni, - bosoni

densità` di particelle :

$$n = \int \frac{d^3 p}{(2\pi)^3} f(p) = \frac{Tm^2}{2\pi^2} \sum_{k=1}^{\infty} \frac{1}{k} K_2\left(\frac{km}{T}\right) e^{k\mu/T}$$

densità` di energia :

$$\varepsilon = \int \frac{d^3 p}{(2\pi)^3} \varepsilon_p f(p)$$

Il potenziale chimico indica la variazione dell'energia libera dovuta alla variazione del numero di particelle:

$$\mu_q \equiv \frac{\partial F}{\partial N_q} \quad \mu_{\bar{q}} \equiv \frac{\partial F}{\partial N_{\bar{q}}}$$

All'equilibrio,  $F$  e` stazionaria per una variazione piccola di  $N_q$  ed  $N_{q\text{-bar}}$  che non cambia il numero barionico ( $\Delta N_q = \Delta N_{q\text{-bar}}$ ):

$$0 = \Delta F = \frac{\partial F}{\partial N_q} \Delta N_q + \frac{\partial F}{\partial N_{\bar{q}}} \Delta N_{\bar{q}} = (\mu_q + \mu_{\bar{q}}) \Delta N_q$$

quindi all'equilibrio  $\mu_{\bar{q}} = -\mu_q$ .

Per uno spostamento dall'equilibrio con  $\Delta N_B$ :

$$\Delta F = \mu_B \Delta N_B = \mu_q \Delta N_q + \mu_{\bar{q}} \Delta N_{\bar{q}} = \mu_q (\Delta N_q - \Delta N_{\bar{q}})$$

da cui  $\mu_B = 3\mu_q$  dato che  $\Delta N_B = (\Delta N_q - \Delta N_{q\text{-bar}})/3$

## Esempio 1: $T=0$ , $\mu_q > 0$

Nello stato fondamentale ci sono solo quark (no antiquark).

Per quark di tipo u:

$$n_u = 6 \int_0^\mu \frac{d^3 p}{(2\pi)^3} = \frac{\mu^3}{\pi^2}$$

$$\varepsilon = \frac{3\mu^4}{4\pi^2} \quad P = n \frac{d\varepsilon}{dn} - \varepsilon = \frac{\varepsilon}{3}$$

## Esempio 2: $T>0$ , $\mu_q = 0$

Ci sono tanti quark quanti antiquark.

$$n_u = 6 \int_0^\mu \frac{d^3 p}{(2\pi)^3} \frac{1}{e^{p/T} + 1} = \frac{9\zeta(3)}{2\pi^2} T^3$$

## Esempio 3: $T>0$ , $m \neq 0$

Si puo` calcolare analiticamente la differenza tra il numero di quark e di antiquark:

$$n_u - n_{\bar{u}} = 6 \int_0^{\mu} \frac{d^3 p}{(2\pi)^3} \left[ \frac{1}{e^{(p-\mu)/T} + 1} - \frac{1}{e^{(p+\mu)/T} + 1} \right] = \frac{\mu^3}{\pi^2} + \mu T^2$$

$$n_B = \frac{1}{3} (n_u - n_{\bar{u}} + n_d - n_{\bar{d}}) = \frac{2}{3} \left( \frac{\mu^3}{\pi^2} + \mu T^2 \right)$$

Per particelle a massa nulla ( $\mu=0$ ):

$$n = \int \frac{d^3 p}{(2\pi)^3} \frac{1}{e^{p/T} \pm 1} = T^3 \frac{\zeta(3)}{\pi^2} \times \begin{cases} 1 & \text{bosoni} \\ \frac{3}{4} & \text{fermioni} \end{cases}$$

$$\varepsilon = \int \frac{d^3 p}{(2\pi)^3} \frac{p}{e^{p/T} \pm 1} = T^4 \frac{\pi^2}{30} \times \begin{cases} 1 & \text{bosoni} \\ \frac{7}{8} & \text{fermioni} \end{cases}$$

$$P = \varepsilon / 3$$

$$Ts = \varepsilon + P$$

Per QGP formato da u,d,s e gluoni, alla temperatura T :

$$n = v T^3 \zeta(3) / \pi^2 \sim 5.2 T^3 \quad \text{con} \quad v = 2 \times 8 + 3/4 \times 2 \times 3 \times 3 \times 2 = 43$$

$$\varepsilon = v' \pi^2 T^4 / 30 \quad \text{con} \quad v' = 2 \times 8 + 7/8 \times 2 \times 3 \times 3 \times 2 = 47.5$$

$$\text{Se } T = 200 \text{ MeV} : n \sim 5.4 \text{ fm}^{-3}, \varepsilon \sim 3 \text{ GeV/fm}^{-3}$$



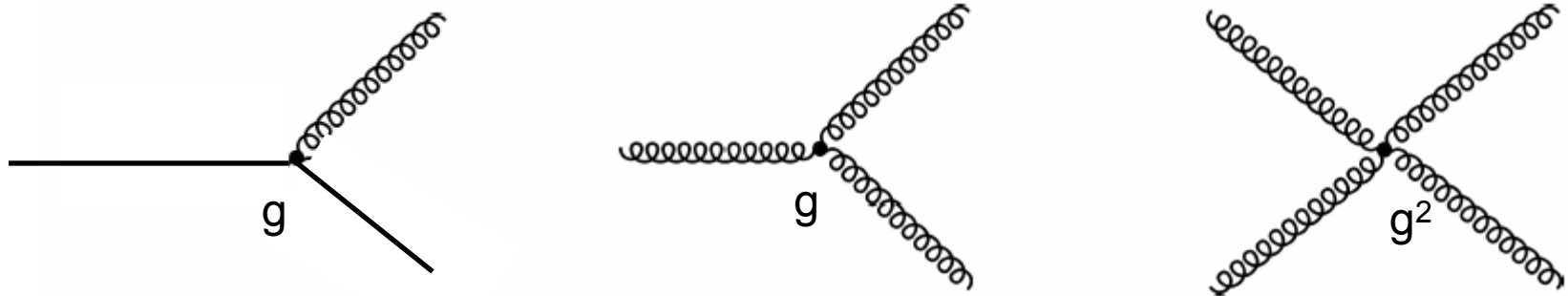
# Elementi di QCD

$$\mathcal{L}_{\text{QCD}} = -\frac{1}{4}F_{\mu\nu}^a F_a^{\mu\nu} + i\bar{\psi}\gamma^\mu \left( \partial_\mu - ig\frac{\lambda_a}{2} A_\mu^a \right) \psi - m\bar{\psi}\psi$$

$$F_{\mu\nu}^a = \partial_\mu A_\nu^a - \partial_\nu A_\mu^a + g f_{abc} A_\mu^b A_\nu^c$$

La QCD e` la teoria che descrive le interazioni tra I costituenti elementari degli adroni: quark e gluoni.

Interazione di gauge non abeliana, i gluoni interagiscono tra loro.



La costante di accoppiamento  $\alpha_s = g^2/4\pi$  cresce al crescere della distanza di interazione

$$\alpha_s(r_1) = \frac{\alpha_s(r_2)}{1 + \frac{11N_c - 2N_f}{6\pi} \alpha_s(r_2) \ln\left(\frac{r_2}{r_1}\right)}$$

=> Confinamento

# Simmetria chirale

$$\mathcal{L}_{QCD} = \bar{q}(iD - m)q - \frac{1}{4}F^2 \quad m = \begin{pmatrix} m_u & 0 \\ 0 & m_d \end{pmatrix}$$

Definiamo gli operatori di proiezione:

$$P_{L,R} \equiv \frac{1}{2}(1 \pm \gamma_5) \quad q_{L,R} \equiv P_{L,R}q$$
$$P_L^2 = P_L \quad P_R^2 = P_R \quad P_L P_R = P_R P_L = 0$$

$$\mathcal{L}_{QCD} = \bar{q}_L iD q_L + \bar{q}_R iD q_R - (\bar{q}_R m q_L + \bar{q}_L m q_R) - \frac{1}{4}F^2$$

Se  $m=0$   $\mathcal{L}_{QCD}$  e` invariante per rotazioni di sapore:

$$q_R \rightarrow U_R q_R \quad q_L \rightarrow U_L q_L$$

dove  $U_R$  e  $U_L$  sono matrici  $2 \times 2$  unitarie indipendenti

Il gruppo di simmetria e`

$$U(2)_R \times U(2)_L = U(1)_R \times U(1)_L \times SU(2)_R \times SU(2)_L$$

Correnti conservative:

$$\begin{aligned} j_L^\mu &= \bar{q}_L \gamma^\mu q_L & j_R^\mu &= \bar{q}_R \gamma^\mu q_R \\ j_L^{i\mu} &= \bar{q}_L \frac{\tau^i}{2} \gamma^\mu q_L & j_R^{i\mu} &= \bar{q}_R \frac{\tau^i}{2} \gamma^\mu q_R \end{aligned}$$

Si definiscono correnti assiali e vettoriali:

$$\begin{aligned} j_V^\mu &= \frac{1}{2}(j_L^\mu + j_R^\mu) = \bar{q} \gamma^\mu q & j_A^\mu &= \frac{1}{2}(j_L^\mu - j_R^\mu) = \bar{q} \gamma^\mu \gamma^5 q \\ j_V^{i\mu} &= \frac{1}{2}(j_L^{i\mu} + j_R^{i\mu}) = \bar{q} \frac{\tau^i}{2} \gamma^\mu q & j_A^{i\mu} &= \frac{1}{2}(j_L^{i\mu} - j_R^{i\mu}) = \bar{q} \frac{\tau^i}{2} \gamma^\mu \gamma^5 q \end{aligned}$$

Se  $m_u = m_d > 0$  vi sono ancora delle simmetrie.

Se le masse dei quark sono diverse tra loro, la Lagrangiana di QCD non è invariante.

In natura le masse dei quark u e d sono piccole e diverse tra loro. La simmetria di isospin e` approssimata.  
La simmetria chirale non esiste.

A temperatura finita pero` le cose cambiano...

# Rottura spontanea della simmetria e masse delle particelle

Consideriamo la lagrangiana di un campo scalare con un potenziale  $V$ :

$$\mathcal{L} = \frac{1}{2} \partial_\mu \phi \partial^\mu \phi - V(\phi) \quad V(\phi) = -\frac{1}{2} \mu^2 \phi^2 + \frac{\lambda}{4} \phi^4$$

La lagrangiana è invariante per trasformazioni  $\phi \rightarrow -\phi$

L'equazione del moto

$$\partial_\mu \partial^\mu \phi = -\frac{\partial V}{\partial \phi}$$

ammette una soluzione costante  $\phi_0$  (corrispondente ad un minimo del potenziale):

$$\phi_0 = \sqrt{\mu^2 / \lambda}$$

Le piccole fluttuazioni del campo attorno al minimo sono eccitazioni di particella singola. Sia

$$\phi(x,t) = \phi_0 + \delta\phi(x,t)$$

l'equazione per  $\delta\phi$  e`:

$$\partial_\mu \partial^\mu \delta\phi = (-\mu^2 + 3\lambda\phi_0^2)\delta\phi + O(\delta\phi^2)$$

cioe` l'equazione di Klein-Gordon per una particella di massa  $m^2 = -\mu^2 + 3\lambda\phi_0^2 = 2\mu^2$

Consideriamo ora un insieme di sistemi alla temperatura T e calcoliamo la media termica:

$$\partial_\mu \partial^\mu \langle \phi \rangle = -\left\langle \frac{\partial V}{\partial \phi} \right\rangle \quad \langle \phi \rangle = \frac{1}{Z} \text{Tr} \{ e^{-\beta H} \phi \}$$

Definiamo la deviazione dalla media termica:  $\phi = \langle \phi \rangle + \tilde{\phi}$

Per definizione:  $\langle \tilde{\phi} \rangle = 0$

L'equazione del moto e':  $\partial_\mu \partial^\mu \langle \phi \rangle = \mu^2 \langle \phi \rangle - \lambda \langle \langle \phi \rangle + \tilde{\phi} \rangle^3$

Per simmetria:  $\langle \tilde{\phi}^3 \rangle = 0$

mentre  $\langle \tilde{\phi}^2 \rangle \propto T^2$

quindi  $\partial_\mu \partial^\mu \langle \phi \rangle = \mu^2 \langle \phi \rangle - \lambda (\langle \phi \rangle^3 + 3 \langle \phi \rangle \langle \tilde{\phi}^2 \rangle)$

Esistono soluzioni costanti  $\phi_T^2 = \mu^2 / \lambda - 3 \langle \tilde{\phi}^2 \rangle$

Le piccole fluttuazioni attorno al minimo sono eccitazioni di particella singola.

$$\langle \phi \rangle = \phi_T + \delta\phi$$

$$\partial_\mu \partial^\mu \delta\phi = -\mu^2 \delta\phi + 3\lambda(\phi_T^2 + \langle \tilde{\phi}^2 \rangle) \delta\phi$$

La massa della particella e`

$$m^2 = -\mu^2 + 3\lambda(\phi_T^2 + \langle \tilde{\phi}^2 \rangle) = 2\lambda\phi_T^2$$

e dipende dalla temperatura !

In particolare esiste una temperatura  $T_\chi$  in corrispondenza della quale la massa della particella si annulla.

# QCD su reticolo

Ogni osservabile termodinamica si puo` ottenere dalla funzione di partizione:

$$Z = \text{Tr}\{e^{-\beta H}\}$$

$$\mathcal{E} = -\frac{1}{V} \frac{\partial}{\partial \beta} \ln Z \quad P = \frac{1}{\beta} \frac{\partial}{\partial V} \ln Z$$

$e^{-\beta H}$  e` un "operatore di evoluzione temporale in un tempo immaginario":  $t \rightarrow -i\beta$ ,  $e^{-iHt} \rightarrow e^{-\beta H}$

Si puo` applicare il formalismo degli integrali di cammino sviluppato nella meccanica quantistica:

$$Z = \int \mathcal{D}A_\mu^a(x) \mathcal{D}\bar{\psi}(x) \mathcal{D}\psi(x) e^{i \int d^4x \mathcal{L}[A_\mu^a, \bar{\psi}, \psi]}$$

$$\mathcal{Z} = \int \mathcal{D}A_\mu^a(\mathbf{x}, \tau) \mathcal{D}\bar{\psi}(\mathbf{x}, \tau) \mathcal{D}\psi(\mathbf{x}, \tau) e^{- \int_0^\beta d\tau \int d^3x \mathcal{L}_E[A_\mu^a, \bar{\psi}, \psi]}$$

# Esempio: quark statico in un campo gluonico

Equazione di Dirac in tempo immaginario ( $t \rightarrow i\tau$ ):

$$[\partial_\tau + gA_0 + \mathbf{a} \cdot (\frac{\nabla}{i} - g\mathbf{A}) + M\gamma_0]\psi(\mathbf{r}, \tau) = 0$$

Per un quark pesante,  $M$  grande,  $\gamma_0=1$ ,  $a$  trascurabile:

$$[\partial_\tau + gA_0 + M]\psi(\mathbf{r}, \tau) = 0$$

la cui soluzione e`:

$$\psi(r, \tau) = e^{-M\tau} T \exp \left\{ -g \int_0^\tau dt A_0(r, t) \right\} \psi(r, 0)$$

L'energia libera  $F$  si ottiene da:

$$e^{-\beta F} = \frac{1}{N_c} \sum_{a,n} \langle n | \psi_a(r) e^{-\beta H} \psi_a^+(r) | n \rangle$$

dove  $|n\rangle$  e` uno stato gluonico,  $\psi_a^+(r)$  crea un q di colore a nel punto r.

Usando  $e^{\beta H} \psi_a(r) e^{-\beta H} = \psi_a(r, \beta)$ :

$$e^{-\beta F} = \frac{1}{N_c} \sum_{a,n} \left\langle n \left| e^{-\beta E_n} \psi_a(r, \beta) \psi_a^+(r) \right| n \right\rangle$$

inoltre:

$$\psi_a(r, \beta) = e^{-M\beta} T \exp \left\{ -g \int_0^\beta dt A_0(r, t) \right\}_{ab} \psi_b(r, 0)$$

quindi

$$e^{-\beta F} = e^{-M\beta} \sum_n e^{-\beta E_n} \left\langle n \left| L(r) \right| n \right\rangle$$

la quantita`

$$L(r) = \frac{1}{N_c} Tr \exp \left\{ -g \int_0^\beta dt A_0(r, t) \right\}$$

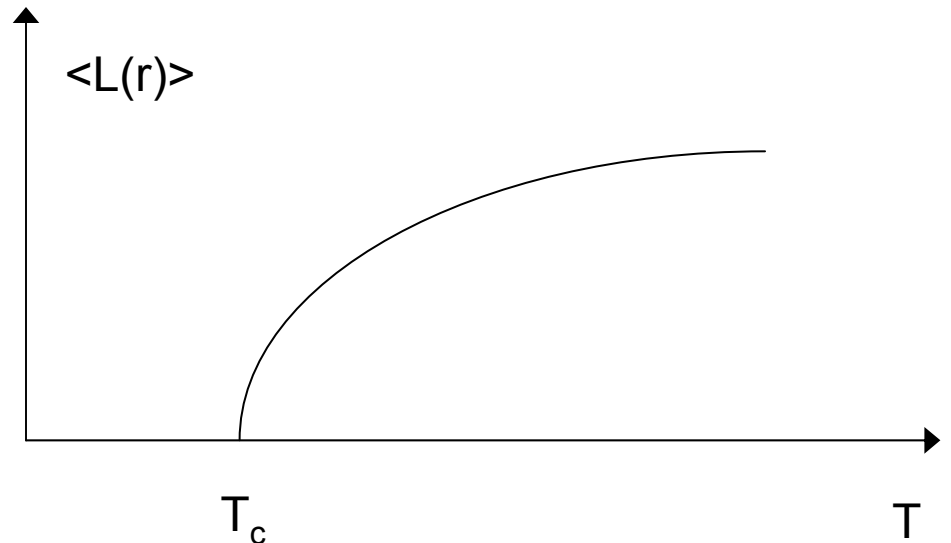
e` chiamata Linea di Polyakov

Il valor medio  $\langle L(r) \rangle$  e` un parametro d'ordine della transizione di fase:

- a basse temperature  $\langle L(r) \rangle = 0$ ,  $F \rightarrow \infty$ , l'energia del quark isolato e` infinita
- ad alte temperature invece  $\langle L(r) \rangle$  e  $F$  sono finiti

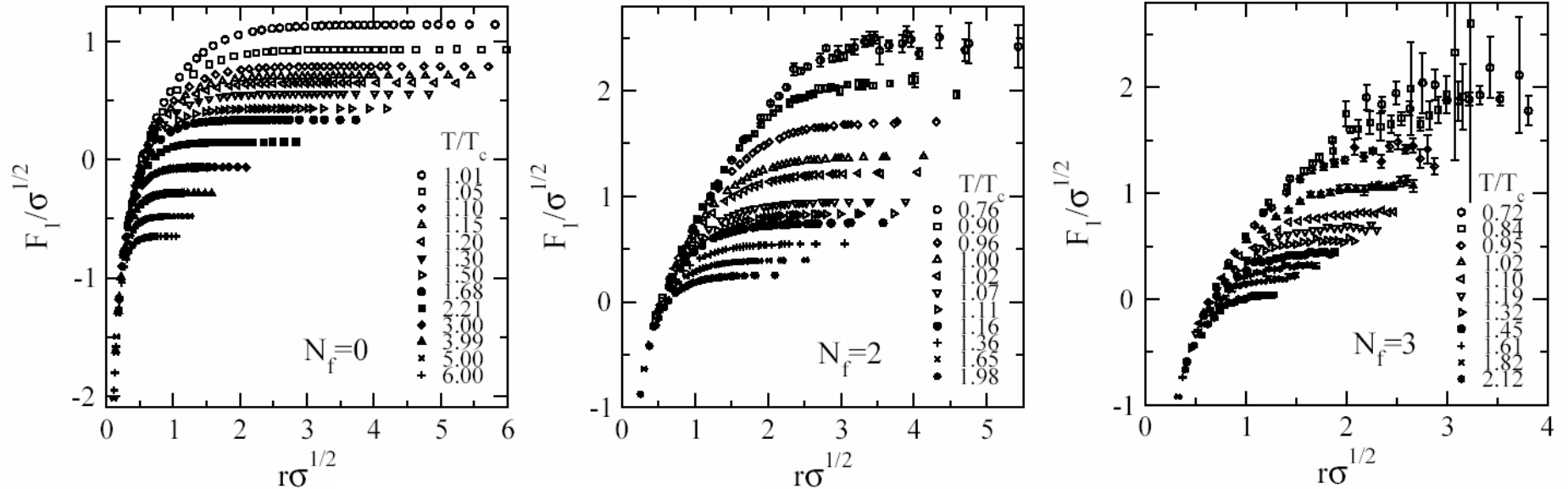
Per una coppia di quark massivi si calcola il correlatore di  $L(r)$ :

$$e^{-\beta(F_{q\bar{q}}(r)-F_0-2M)} = \langle L(0)L^+(r) \rangle$$



Da  $F$  si ottiene il potenziale di interazione tra due quark

# Risultati dal reticolo



L'energia libera  $F$  e l'energia interna  $U$  sono legate dalla relazione termodinamica  $F=U-TS$ ,  $S=-\partial F/\partial T$

$$U = -T^2 \frac{\partial(F/T)}{\partial T}$$

# Transizione chirale

Lo stato fondamentale (vuoto) non e` invariante per trasformazioni chirali :

$$e^{i\omega_a Q_A^a} |0\rangle \neq |0\rangle$$

questo implica che il valore medio nel vuoto dell'operatore  $\bar{q}q$  (condensato chirale) e` diverso da zero. Quindi  $\langle 0 | \bar{q}q | 0 \rangle$  e` un parametro d'ordine della transizione chirale.

# Risultati

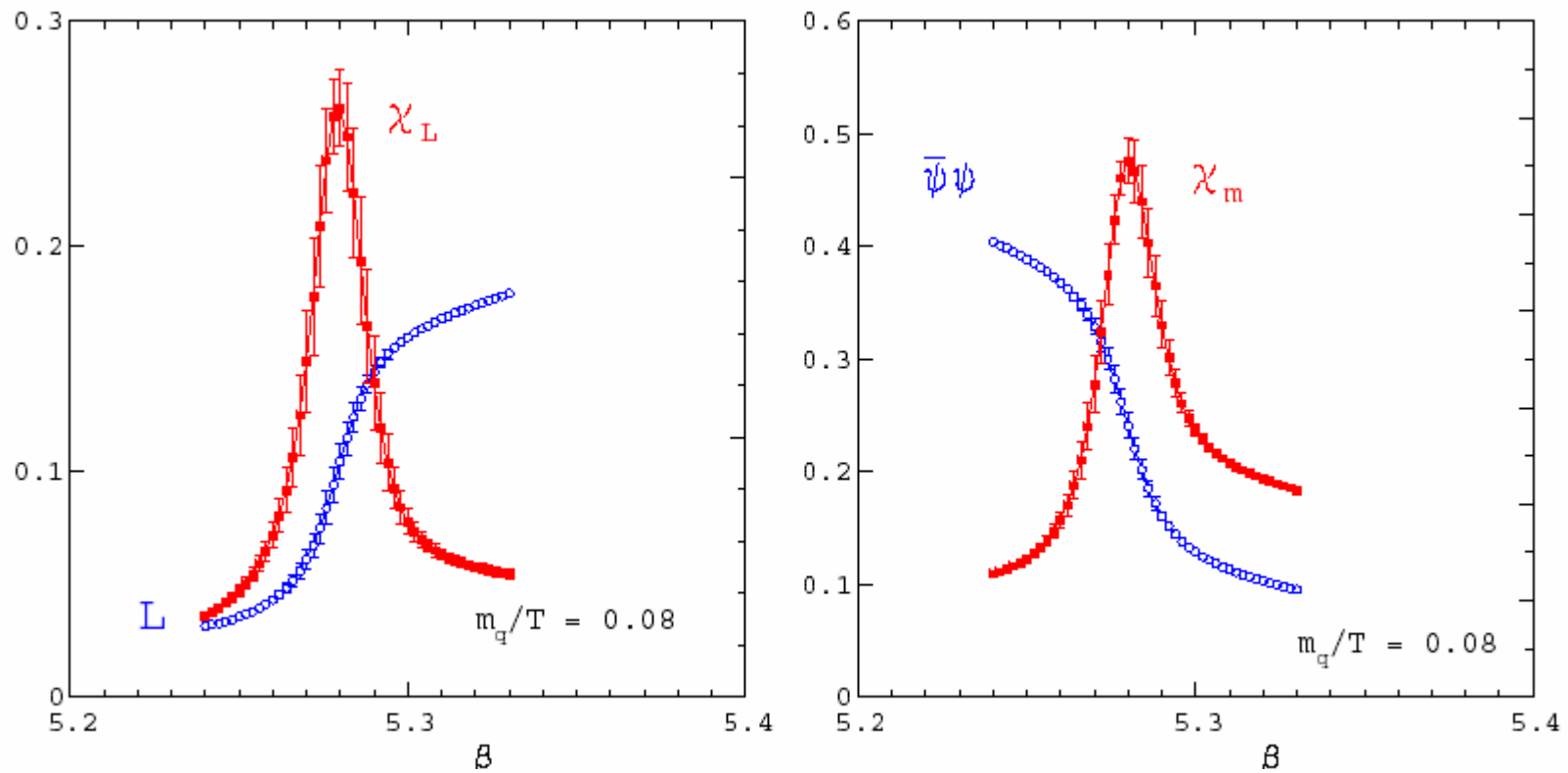


Fig. 1: Left: Polyakov loop expectation value  $\langle L \rangle$  and its temperature derivative (Polyakov loop susceptibility  $\chi_L$ ) as a function of the lattice coupling  $\beta = 6/g^2$  which is monotonically related to the temperature  $T$  (larger  $\beta$  correspond to larger  $T$ ). Right: The chiral condensate  $\langle \bar{\psi} \psi \rangle$  and the negative of its temperature derivative (chiral susceptibility  $\chi_m$ ) as a function of temperature. (From Ref. [4].)

Sul reticolo, a potenziale chimico nullo, le transizioni di deconfinamento e chirale coincidono !

# Transizione QGP-adroni nel modello a bag

$$\varepsilon = \int \frac{d^3 p}{(2\pi)^3} \frac{p}{e^{p/T} \pm 1} = T^4 \frac{\pi^2}{30} \times \begin{cases} 1 & \text{bosoni} \\ \frac{7}{8} & \text{fermioni} \end{cases}$$

Gas di pioni a massa 0

$$\varepsilon = 3 \frac{\pi^2}{30} T^4 \quad P = 3 \frac{\pi^2}{90} T^4$$

QGP con due sapori di q (u,d) [37=2x8+7/8x2x2x3x2]

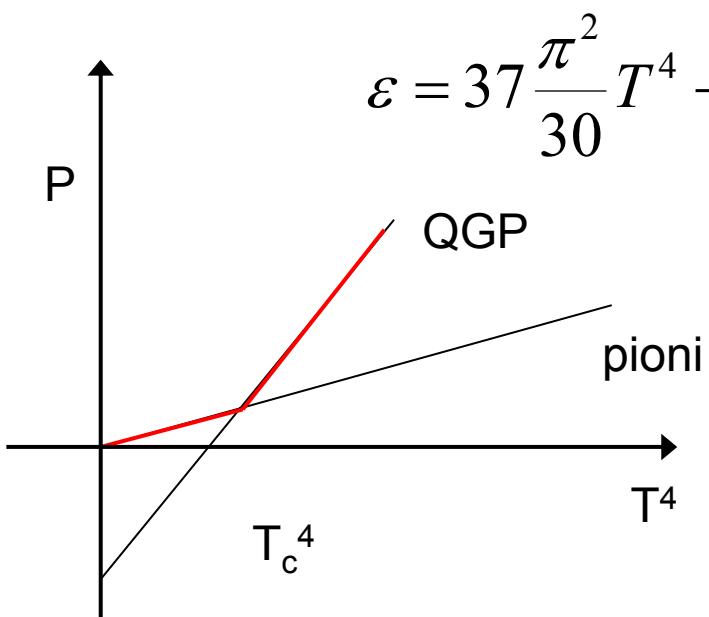
$$\varepsilon = 37 \frac{\pi^2}{30} T^4 + B \quad P = 37 \frac{\pi^2}{90} T^4 - B$$

$$\varepsilon = \int \frac{d^3 p}{(2\pi)^3} \frac{p}{e^{p/T} \pm 1} = T^4 \frac{\pi^2}{30} \times \begin{cases} 1 & \text{bosoni} \\ \frac{7}{8} & \text{fermioni} \end{cases}$$

Gas di pioni a massa 0

$$\varepsilon = 3 \frac{\pi^2}{30} T^4 \quad P = 3 \frac{\pi^2}{90} T^4$$

QGP con due sapori di  $q$  (u,d) [37=2x8+7/8x2x2x3x2]



$$\varepsilon = 37 \frac{\pi^2}{30} T^4 + B \quad P = 37 \frac{\pi^2}{90} T^4 - B$$

